

Bild 4e. Prognosefehler des SWF-Modells

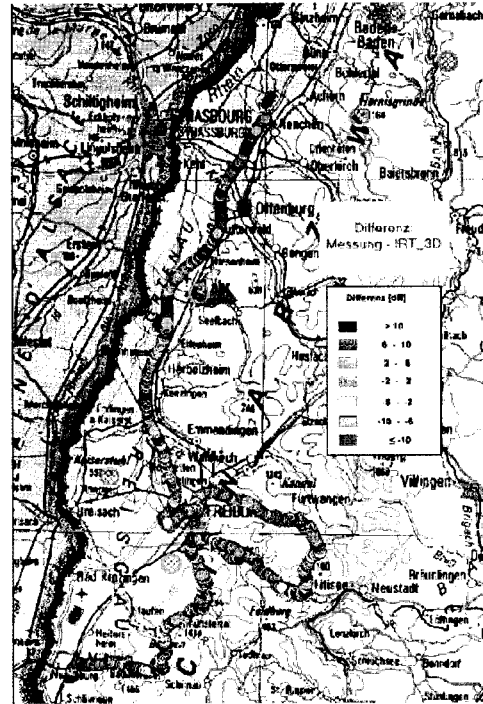


Bild 4f. Prognosefehler des IRT_3D-Modells

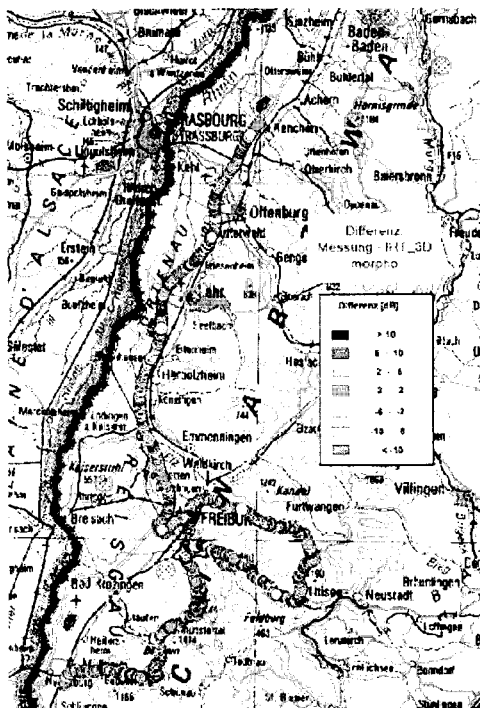


Bild 4g. Prognosefehler des IRT_3D-Modells
mit Morphographie

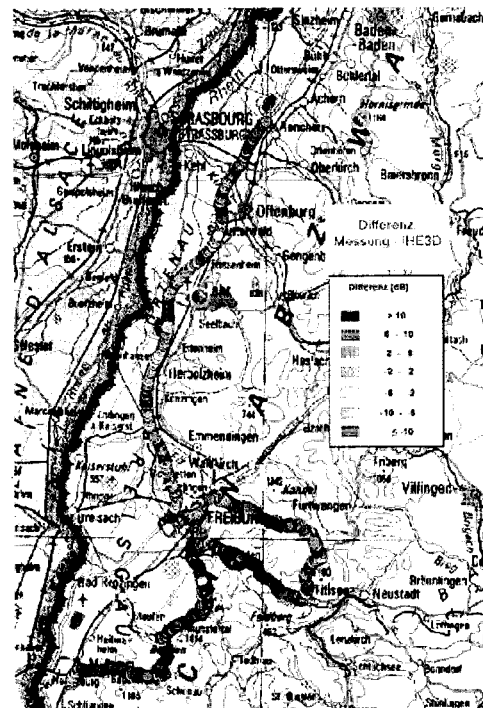


Bild 4h. Prognosefehler des IHE3D-Modells